

# **Математичне моделювання біомедичних процесів**

## **Особливості математичного моделювання біомедичних проблем**

Сучасна медицина є, в основному, експериментальною наукою з величезним емпіричним досвідом впливу на ту чи іншу хворобу. Але для детального вивчення процесів біосередовищ уже не достатньо експериментальних досліджень, а найбільш ефективним засобом їх дослідження стає математичне моделювання. Початок активного застосування методів математичного моделювання припадає на другу половину ХХ століття.

Вибір тих чи інших засобів математичного моделювання для опису біологічних і медичних об'єктів залежить від індивідуальних знань спеціалістів та від специфіки розв'язуваних задач. Систематичні спроби використовувати математичні методи в медичних дослідженнях беруть свій початок з 80-х років XIX ст. із моменту використання кореляційних методів для обробки медичних даних. Відтоді методи статистики є провідними засобами моделювання в біомедичних науках. Відомо, що методи математичної статистики розвивались саме під впливом біомедичних проблем. Ці методи призначенні для виявлення закономірностей, властивих медичним об'єктам, на основі яких робляться висновки і даються практичні рекомендації. Але статистичні методи дають повне розв'язування задачі у всіх випадках, коли дослідника не цікавить внутрішня структура процесів. Моделі даних не містять інформації та гіпотез про внутрішню структуру та процеси функціонування. У випадку, коли знання про структуру системи, механізм її функціонування, виникаючі явища можуть суттєво вплинути на прийняття рішень, використовують методи математичного моделювання. У медицині існує багато різноманітних задач, які для свого розв'язання вимагають застосування теорії математичного моделювання, тобто побудови й дослідження математичних моделей. Наприклад, математичні моделі прогнозу динаміки розвитку онкологічних захворювань; роботи систем кровообігу; інфаркту

міокарда, які б пояснювали механізм його виникнення та законо-мірності його протікання; розрахунку наслідків черепно-мозкових травм; динаміки загоювання ран; динамічних процесів, що проходять у тілі людини при фізичних навантаженнях та ін. Останнім часом в медицині стали застосовувати математичні моделі з анімацією – це дозволяє на екрані комп’ютера спостерігати в пришвидшенному масштабі часу розвиток ряду захворювань. На порядку денному стоять комп’ютерне моделювання хірургічних операцій, що дасть змогу передбачити їх хід та наслідки.

Розвиток математичних моделей сприяє розширенню сфери пізнання в медицині, появлі нових ефективних методів діагностики і лікування, створенню медичної техніки.

Математичні моделі, залежно від використованого математичного апарату, поділяються на певні класи. У медицині їй біології здебільшого використовують опис об’єктів і процесів за допомогою рівнянь. Якщо дослідника не цікавить розвиток процесів у часі (динаміка об’єктів), то використовують алгебраїчні рівняння. Моделі в цьому випадку називаються статичними. Так, в основі комп’ютерної томографії лежать теоретичні моделі поглинання випромінювання тканинами органу, що мають вигляд системи алгебраїчних рівнянь. Для опису властивостей систем, що змінюються з часом, використовуються динамічні моделі, частіше за все – диференціальні рівняння. Переважна більшість процесів у медицині має складний нелінійний характер. Складність зумовлена ефектами післядії, стохастичністю процесів та іншими факторами. Нещодавно з’явилися постановки медичних задач, які приводять до необхідності числового розв’язування нелінійних диференціальних рівнянь з частинними похідними еліптичного, гіперболічного та параболічного типів. У цьому розділі наведемо приклади простіших математичних моделей біомедичних процесів.

### **Фармакокінетичні моделі**

Фармакокінетика вивчає розподіл в організмі досліджуваної біологічно активної речовини та зміну її концентрації з часом у різних середовищах організму людини. До біологічно активних речовин належать лікарські препарати. Організм формально поділя-

ють на камери. Фармакокінетична камера – це частина організму, в якій лікарський препарат розподілений рівномірно. Сукупність процесів, які зумовлюють зменшення вмісту лікарського препарата в організмі з часом, називають *елімінацією*.

### Однокамерна лінійна фармакокінетична модель

Математична модель однокамерної лінійної елімінації має вигляд

$$\frac{dM}{dt} = -k_e M, \quad (11.2.1)$$

де  $M(t)$  – маса препарату в камері в момент часу  $t$ ;  $k_e$  – константа елімінації, яка є суб'єктивною характеристикою організму.

Частинним розв'язком рівняння (11.2.1) з початковою умовою  $M(t) = M_0$  при  $t = 0$  є функція

$$M(t) = M_0 e^{-k_e t}.$$

Аналогічне рівняння маємо і для концентрації препарату в камері

$$c(t) = c_0 e^{-k_e t}.$$

Елімінацію біологічно активних речовин з організму на практиці вивчають за зменшенням їх концентрації в крові.

Прологарифмувавши останнє рівняння, одержимо лінійну залежність логарифма концентрації препарату від часу

$$\ln c(t) = \ln c_0 - k_e t.$$

Користуючись останньою формулою, значення  $k_e$  можна обчислити за відомими значеннями величини  $c(t)$  у будь-які два моменти часу  $t = t_1$  і  $t = t_2$ :

$$k_e = \frac{\ln c(t_1) - \ln c(t_2)}{t_2 - t_1}.$$

Однокамерна лінійна модель для даного препарату адекватна, якщо експериментальні значення  $\ln c(t_1), \ln c(t_2), \dots, \ln c(t_n)$  задовольняють попереднє рівняння в межах певної точності. Однокамерна лінійна модель адекватна для багатьох лікарських препаратів, уведених у кров ін'єкцією.

У розглянутій моделі передбачалося швидке надходження в камеру та рівномірний розподіл усього лікарського препарату.

Розглянемо тепер поступове надходження (всмоктування) препарату в камеру з деякого депо (рис. 11.1).

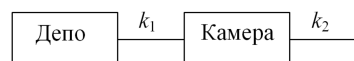


Рис. 11.1. Надходження препарату в камеру та його елімінація

Моделі зі всмоктуванням адекватно описують кінетику лікарських препаратів в організмі при внутрішньом'язевому введенні та в разі приймання ліків перорально.

Всмоктування препарату з депо в камеру та його елімінацію з камери моделюємо лінійною кінетикою. Така математична модель має вигляд

$$\begin{cases} \frac{dM_1}{dt} = -k_1 M_1, \\ \frac{dM_2}{dt} = k_1 M_1 - k_e M_2, \end{cases} \quad (11.2.2)$$

де  $M_1(t)$  – маса препарату в депо, а  $M_2$  – маса препарату в камері в момент часу  $t$ , початкові умови мають вигляд

$$M_1(t) = M_{10}, \quad M_2(t) = 0 \text{ при } t = 0.$$

Розв'язуючи перше рівняння системи (11.2.2), маємо

$$M_1(t) = M_{10} e^{-k_1 t}.$$

Враховуючи цей факт, друге рівняння системи (11.2.2) набуває вигляду

$$\frac{dM_2}{dt} = k_1 M_{10} e^{-k_1 t} - k_e M_2,$$

інтегруючи яке, одержуємо

$$M_2(t) = \frac{M_{10} k_1}{k_1 - k_e} (e^{-k_e t} - e^{k_1 t}).$$

## **Однокамерна лінійна модель із крапельницею**

Лікарські препарати за допомогою крапельниці надходять у кров зі сталою швидкістю, а швидкість виведення біологічно активних речовин з крові вважаємо пропорційно кількості цієї речовини в крові, тоді математична модель цього процесу має вигляд

$$\frac{dM}{dt} = a - kM, \quad M(t) = M_0 \text{ при } t = 0,$$

де  $M(t)$  – маса ліків у крові в момент часу  $t$ ;  $k$  – константа, що характеризує виведення ліків із крові.

Розв'язок цього рівняння має вигляд

$$M(t) = \frac{a}{k} \left( M_0 - \frac{a}{k} \right) e^{-kt}.$$

## **Математична модель стану кісткової системи**

Зростаюча частка первинного та вторинного остеопорозу в структурі загальної захворюваності населення різних країн світу привертає увагу дослідників до вивчення питань реконструкції кісткової тканини – це одна з важливих проблем медицини.

Побудуємо математичну модель стану кісткової тканини у хворих з патологією гемopoетичного апарату. На практиці стан кісткової тканини поперекового відділу хребта досліджується на абсорбційному рентгенологічному денситометрі.

Підходи до побудови математичної моделі ґрунтуються на по-передній статистичній оцінці отриманих денситограм.

Для побудови моделі зробимо деякі припущення щодо характеристики зміни мінеральної щільності кісткової тканини. Позначимо цю характеристику через  $x(t)$ . Тоді  $\frac{dx}{dt}$  пропорційно залежить від  $x(t)$ , що відповідає експоненціальному росту цієї величини з віком.

Але оскільки з віком досягається деяке граничне значення величини  $x(t)$ , то математичною моделлю є логістичне рівняння вигляду

$$\frac{dx}{dt} = \alpha x(\beta - x), \quad (11.3.1)$$

де  $\alpha, \beta$  – невідомі параметри, які потрібно визначити на основі експериментальних даних. Це рівняння вивчалося в п. 7.2.

Розглянута модель може бути застосована для опису зміни мінеральної щільності кісткової тканини у віці 15–70 років.

### Математичні моделі інфекційних захворювань

У цьому пункті сформулюємо простіші моделі розповсюдження епідемій. Математичне моделювання стало важливим інструментом розуміння поширення інфекційних захворювань.

Нехай у деякій популяції чисельності  $N$  розповсюджується інфекційне захворювання. В простішому випадку популяцію можна розділити на 3 неперетинних групи: здорові особини, які потенційно можуть бути інфіковані (кількість їх позначається через  $S(t)$ ), переносники інфекції –  $I(t)$  і ті хто, перехворівши, уже одужав і набув імунітету або помер (їх кількість позначимо через  $R(t)$ ).

Типову еволюцію особин популяції описує діаграма

$$S \rightarrow I \rightarrow R \text{ або } \boxed{\text{вразливий}} \rightarrow \boxed{\text{хворий}} \rightarrow \boxed{\text{здоровий}}$$

Такі позначення прийняті відповідно до історичної традиції. Очевидно, що в будь-який момент часу повинно виконуватися співвідношення  $S + I + R = N$ , якщо система замкнена, тобто відсутні демографічні процеси і процеси міграції.

Щоб записати математичну модель розповсюдження епідемій, припустимо, що всі контакти рівномірні, а швидкість переходу інфікованих у групу особин, що набули імунітету, визначається параметром  $\gamma$ .

Ураховуючи, що переход із групи  $S$  у групу  $I$  відбувається при зустрічах, застосуємо при моделюванні кількісний закон про частоту зустрічей: частота зустрічей пропорційна добутку кількості індивідумів двох груп.

Припущення про те, що швидкість зміни чисельності популяції здорових пропорційна добутку чисельності здорових і заражених, по суті справи, є сильно ідеалізованим спрощенням, але може використовуватися як перше наближення до реальності.

Тоді розвиток епідемії буде описуватися рівняннями

$$\begin{cases} \frac{dS}{dt} = -\beta SI, \\ \frac{dI}{dt} = \beta SI - \gamma I, \\ \frac{dR}{dt} = \gamma I, \end{cases} \quad (11.4.1)$$

де  $\beta, \gamma$  – додатні параметри;  $\frac{1}{\gamma}$  – середній час хвороби.

Система (11.4.1) – це класична модель Кермака–Маккендріка (Gray McKendrik, 1876–1943, видатний шотландський епідеміолог, William Kermack, 1898–1970, шотландський біохімік, – вважаються творцями математичної епідеміології). Її ще називають SIR-моделлю.

Знайдені розв'язки системи (11.4.1) в пакеті MathCad при початкових умовах  $S(0) = S_0 > 0, I(0) = I_0 > 0, R(0) = R_0 \geq 0$  зображені на рис. 11.2, а.

Проведемо деякі аналітичні дослідження. З першого та другого рівнянь цієї системи маємо

$$\frac{dI}{dS} = -\frac{(\beta S - \gamma)I}{\beta SI} = -1 + \frac{\sigma}{S}, \quad \sigma = \frac{\gamma}{\beta}. \quad (11.4.2)$$

Звідси, враховуючи початкові умови, знаходимо

$$I + S - \sigma \ln S = I_0 + S_0 - \sigma \ln S_0.$$

Це є перший інтеграл системи (11.4.1). За його допомогою можна побудувати фазові криві на площині  $(S, I)$  (рис. 11.2, а). Оскільки третє рівняння системи (11.4.1) незалежне і  $\dot{S}(t) \leq 0$ , то фазовим простором можна вважати трикутник, заданий співвідношенням  $S(t) + I(t) \leq N$ .

З другого рівняння системи (11.4.1) випливає, що кількість заражених спочатку зростає (це умова початку епідемії), якщо  $\beta S_0 - \gamma > 0$  або  $S_0 \sigma^{-1} > 1$ , потім при  $S_0 = \sigma$  досягає свого максимального значення  $I_{max} = I_0 + S_0 - \sigma + \sigma \ln \frac{\sigma}{S_0}$ , а якщо  $S_0 \sigma^{-1} < 1$ , то кількість захворілих монотонно зменшується до нуля. Виконайте строгое доведення цього факту.

$$x \equiv \begin{pmatrix} 10 \\ 0.5 \\ 0 \end{pmatrix} \quad k := 0.15 \quad l := 0.7$$

$$D(t, x) := \begin{pmatrix} -k \cdot x_0 \cdot x_1 \\ k \cdot x_0 \cdot x_1 - l \cdot x_1 \\ l \cdot x_1 \end{pmatrix}$$

$$Z := rkfixed(x, 0, 10, 100, D)$$

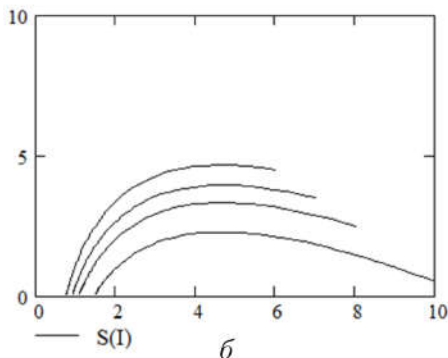
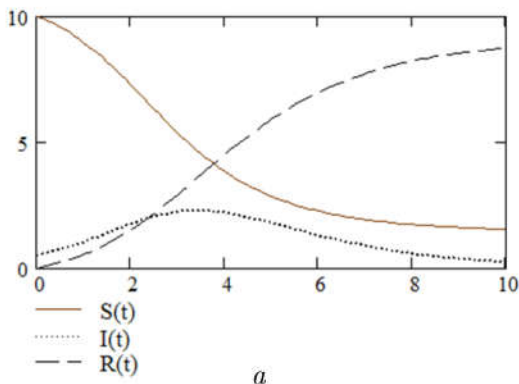


Рис. 11.2. Комп'ютерне моделювання системи (11.4.1):  
*a* – динаміка чисельності здорових  $S(t)$ , захворілих  $I(t)$  та тих, хто переніс захворювання й одужав  $R(t)$ ; *б* – фазовий портрет SIR-моделі на площині  $(S, I)$

З першого та третього рівнянь системи (11.4.1) маємо

$$\frac{dS}{dR} = -\frac{S}{\sigma} \Rightarrow S = S_0 \exp\left(-\frac{R}{\sigma}\right). \quad (11.4.3)$$

Оскільки  $I(t) \rightarrow 0$  при  $t \rightarrow \infty$  і  $R(\infty) = N - S(\infty)$ , то для знаходження кількості тих, хто не захворів, одержуємо трансцендентне

рівняння

$$S(\infty) = S_0 \exp\left(-\frac{N - S(\infty)}{\sigma}\right).$$

Останнє рівняння завжди має розв'язок на проміжку  $(0, \sigma)$  (доведіть).

У рівнянні для  $S(\infty)$  перейдемо від абсолютнох величин до відносних, а саме: розглянемо величину  $z = \frac{S(\infty)}{N}$  (значення  $z$  можна трактувати як частку здорових  $S$ , які не підхопили інфекцію). Якщо припустити, що при  $t = 0$   $S_0 = N$ , то одержимо

$$z = e^{-R_0(1-z)}, \quad (11.4.4)$$

де  $R_0 = S_0\sigma^{-1}$ . Рівняння (11.4.4) – це стандартне рівняння для фінального розміру епідемії, яке справедливе не тільки в рамках моделі (11.4.1), а й у багатьох інших випадках. Величина  $R_0$  називається основним репродуктивним числом і описує середню кількість заражених одним хворим, який потрапив у цілковито здорову популяцію.  $R_0$  характеризує імунітет усієї популяції, а не однієї особини.

Очевидно, що рівняння (11.4.4) має корінь  $z = 1$ , але нас цікавить корінь, що знаходиться в межах від нуля до одиниці. Легко побачити, що корінь  $z^* \in (0, 1)$  існує при  $R_0 > 1$  (перевірте).

Останнє твердження можна трактувати так: нехай ми маємо численну популяцію, всі індивідами якої мають однакові характеристики вразливості, тоді в такої популяції кількість індивідів, що не підхопили інфекцію, не дорівнює нулю. Це означає, що епідемія не "косить" усіх і тому популяція зможе відродитися.

Таким способом одержується один із важливих результатів математичної епідеміології: порогова теорема.

**Теорема.** *Нехай процес розповсюдження інфекційної хвороби в популяції описується математичною моделью (11.4.1). Тоді спалахи епідемії в популяції відбуваються тоді й лише тоді, коли основне репродуктивне число  $R_0 > 1$ . Інакше інфекція не перетворюється в епідемію і швидко зникає.*

*Якщо  $R_0 > 1$ , то розмір популяції вразливих, які не були заражені в процесі епідемії, даеться як розв'язок рівняння (11.4.4).*

При  $R_0 = 0,5$  майже достовірно, що не буде епідемії.

Зауважимо, що ця теорема справедлива не тільки для простішої моделі (11.4.1), але й для багатьох інших випадків.

З рівняння (11.4.4) можна оцінити  $R_0$  для різних хвороб, якщо відома частина популяції, яка залишилася здорововою

$$R_0 = \frac{\ln z^*}{z^* - 1}.$$

Наприклад, для краснухи  $R_0 = 6,4$ ; для віспи – 4,0; для грипу –  $R_0 = 1,44$ . Тут можна одержати цікавий висновок.

Якщо відома оцінка основного репродуктивного числа, то при вакцинації популяції немає необхідності робити щеплення всім індивідам, щоб уникнути можливої епідемії. Необхідно привити імунітет такій частині  $p$  популяції, щоб  $R_0$  стало меншим за одиницю, тобто

$$\frac{N - pN}{\sigma} < 1 \Rightarrow p > 1 - \frac{\sigma}{N} \Rightarrow p > 1 - \frac{1}{R_0}.$$

Отже, для уникнення епідемії потрібно вакцинувати тільки частину популяції (для віспи 70–80 %, для грипу 31 %).

Зауважимо, що в багатьох випадках вдається підібрати параметри моделі (11.4.1) так, що теоретичні криві достатньо точно відображають реальну динаміку хвороби.

Далі для моделі (11.4.1) можна вводити такі узагальнення:

- врахувати різний ступінь сприйняття захворювання;
- врахувати різну частоту контактів між окремими індивідурами;
- замінити член  $\beta SI$  трофічною функцією з насиченням;
- врахувати стохастичність процесу розповсюдження інфекцій та ін.

### Моделі управління епідемічним процесом

Для зменшення наслідків інфекційного захворювання застосовують такі методи керування епідемічним процесом:

- вакцинація;
- введення карантину;
- ізоляція хворих;

– хіміопрофілактика (застосування хімічних засобів захисту) тощо.

Вакцинація переводить індивідумів з групи вразливих  $S$  у групу імунних  $R$  (рис. 11.3).

Схема процесу з вакцинацією наведена на рис. 11.3.

Нехай  $u$  – інтенсивність вакцинації (кількість індивідумів, яким робили щеплення за одиницю часу). Доповнимо SIR-модель складовою  $u$ , одержимо

$$\begin{cases} \frac{dS}{dt} = -\beta SI - u, \\ \frac{dI}{dt} = \beta SI - \gamma I, \\ \frac{dR}{dt} = \gamma I + u, \quad S + I + R = N = \text{const.} \end{cases}$$

Оскільки вакцинація проводиться до початку масового захворювання, то

$$u = \begin{cases} \bar{u} & \text{при } 0 < t < T, \\ 0 & \text{при } t \geq T, \end{cases}$$

де  $T$  – тривалість процесу вакцинопрофілактики.

Запишемо модель із карантином. Карантин – це ізоляція вразливих із метою перешкоджання перенесенню інфекції від хворих до здорових. Нехай  $u_k$  – інтенсивність карантинних заходів,  $N_k$  – кількість ізольованих осіб, тоді модель розвитку епідемії має вигляд

$$\begin{cases} \frac{dS}{dt} = -\beta SI - u_k, \\ \frac{dI}{dt} = \beta SI - \gamma I, \\ \frac{dR}{dt} = \gamma I, \\ \frac{dN_k}{dt} = u_k, \quad S + I + R + N_k = N = \text{const.} \end{cases}$$

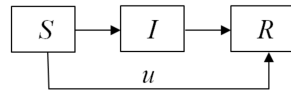


Рис. 11.3. Схема потоків індивідумів при вакцинації

При ізоляції хворих схема потоків індивідумів має вигляд, зображенний на рис. 11.4.

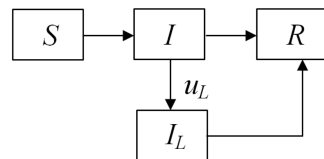


Рис. 11.4. Схема потоків індивідумів при ізоляції хворих

Модель з ізоляцією хворих задається системою диференціальних рівнянь вигляду

$$\begin{aligned} \frac{dS}{dt} &= -\beta SI, \\ \frac{dI}{dt} &= \beta SI - \gamma I - u_L, \\ \frac{dR}{dt} &= \gamma I + \gamma I_L, \\ \frac{dI_L}{dt} &= u_L - \gamma I_L. \end{aligned}$$